



AB 1571



SOLDI Sp. z o.o.
ul. Bieżanowska 22
30-812 Kraków

Sprawozdanie nr 195/2024/OS/01

Sprawozdanie z badania natężenia pól elektromagnetycznych
wykonanych w środowisku

Miejsce wykonania badania:

(dane uzyskane od klienta)

JRS7109_A

37-514 Morawsko, dz. nr 633/98,
pow. jarosławski, woj. podkarpackie

Data zakończenia badania:

18.04.2024 r.

Klient:

P4 Sp. z o.o.
ul. Wynalazek 1
02-677 Warszawa

Autoryzacja / wydanie sprawozdania:



Wiktoria Chłapek
Specjalista ds. Ochrony
Środowiska

Bez pisemnej zgody laboratorium, sprawozdanie nie może być powielane inaczej, jak tylko w całości.

1. Podstawa prawna

Badania wykonano zgodnie z obecnie występującymi aktami prawnymi:

- Ustawa z dnia 27 kwietnia 2001 r. Prawo ochrony środowiska (Dz. U. 2022 poz. 2556 z zm.),
- Rozporządzenie Ministra Zdrowia z dnia 17 grudnia 2019 r. w sprawie dopuszczalnych poziomów pól elektromagnetycznych w środowisku (Dz. U. 2019 poz. 2448),
- Rozporządzenie Ministra Klimatu z dnia 17 lutego 2020 r. w sprawie sposobów sprawdzania dotrzymania dopuszczalnych poziomów pól elektromagnetycznych w środowisku (Dz. U. 2022 poz. 2630).

2. Aparatura pomiarowa

Podczas badań użyto następującej aparatury pomiarowej:

Tabela nr 1

Miernik szerokopasmowy	Sondy	Zakres częstotliwościowy	Zakres pomiarowy*	Świadectwo wzorcowania
Narda NBM-520 Nr D-1583	EF-0392 nr E-0004	0,1 – 3 600 MHz	0,5 – 800 V/m	LWiMP/W/295/23; data wydania: 26.07.2023
Narda NBM-520 Nr D-1583	EF-6091 nr 01164	80 – 90 000 MHz	0,5 – 300 V/m	LWiMP/W/295/23; data wydania: 26.07.2023
*Do wyznaczenia poprawnej wartości natężenia pola elektromagnetycznego uwzględniono współczynniki korekcyjne z właściwego świadectwa wzorcowania.				

Aparaturę pomiarową charakteryzują następujące wartości niepewności pomiaru obliczone i przedstawiona zgodnie z dokumentem PN-EN 50413. Podane wartości niepewności stanowią niepewności rozszerzone dla poziomu ufności 95% i współczynnika rozszerzenia $k=2$.

Procedury wdrożone w laboratorium pozwalają zapewnić odporność elektromagnetyczną miernika.

Niepewność pomiarowa wyznaczona dla zainstalowanych i skonfigurowanych obiektów – źródeł pól, jak w dniu pomiaru wynosi 39%.

Dodatkowa aparatura pomiarowa:

- Kompas (busola) [UP/10/Sw]
- Cyfrowy miernik wilgotności względnej i temperatury powietrza AZ8703
nr fab. S/N:10047614 [UP/11/Sw]
(Świadectwo wzorcowania: 0367/AH/15; data wydania: 17.03.2015)
- Taśma miernicza geodezyjna 50 m [UP/12/Sw]
(Świadectwo wzorcowania: 1429.01-M11-4180-515/15; data wydania: 27.04.2015)
- Odbiornik GPS HUAWEI P20 Pro [UP/21/Sw]

3. Opis badania:

Badanie przeprowadziło Laboratorium Badawcze Soldi na podstawie zlecenia firmy P4 Sp. z o.o.

Badanie wykonano zgodnie z:

Załącznikiem do rozporządzenia Ministra Klimatu z dnia 17 lutego 2020 r. *w sprawie sposobów sprawdzania dotrzymania dopuszczalnych poziomów pól elektromagnetycznych w środowisku* (Dz. U. 2022 poz. 2630).

Badania promieniowania elektromagnetycznego, którego źródłem są urządzenia wyszczególnione w punkcie 4 sprawozdania przeprowadzono w pionach pomiarowych na kierunkach zbliżonych do azymutów badanej instalacji, w szczególności w tych miejscach, w których na podstawie uprzednio przeprowadzonych obliczeń, stwierdzono występowanie w danych zakresach częstotliwości pól-EM o poziomach zbliżonych do poziomów dopuszczalnych oraz do odległości, dla której stwierdzono w miejscach dostępnych dla ludności występowanie pól elektromagnetycznych o najwyższym poziomie, które pochodzą z badanej instalacji. Badania pól elektromagnetycznych przeprowadzono w pionach pomiarowych wzdłuż głównych kierunków pomiarowych, dodatkowych pionach oraz w miejscach dostępnych dla ludności w otoczeniu instalacji. W przyjętych pionach pomiarowych pomiary wykonano na wysokościach od 0,3 m do 2,0 m nad powierzchnią terenu albo nad innymi miejscami dostępnymi dla ludności. W pobliżu urządzeń, obiektów i elementów metalowych pomiary wykonano w odległości nie mniejszej niż 0,3 m od tych urządzeń, obiektów i elementów metalowych.

Przy sprawdzeniu dotrzymania dopuszczalnych poziomów pól elektromagnetycznych w środowisku nie uwzględnia się poprawek pomiarowych ze względu, na fakt iż pomiary wykonywane są przy użyciu miernika szerokopasmowego.

4. Informacje przekazane przez klienta

Tabela nr 2 – Opis obiektu, w otoczeniu którego wykonano badania oraz określenie terenu wokół stacji

Tabela nr 2a – Szczegółowe dane źródła pól dla anten mikrofalowych

Tabela nr 2b – Szczegółowe dane źródła pól dla anten sektorowych

Tabela nr 2

Opis obiektu, w otoczeniu którego wykonano pomiary	
Rodzaj konstrukcji wsporczej:	Stalowa wieża kratowa
Wysokość wieży:	55,95 m n.p.t.
Rodzaj terenu wokół stacji bazowej:	Stacja bazowa zlokalizowana jest na terenie wiejskim, w najbliższym otoczeniu stacji znajdują się tereny rolne.

Tabela nr 2a

Charakterystyka promieniowania				kierunkowa					
Rzeczywisty czas pracy [h/dobę]				24					
Rodzaj wytwarzanego pola				stacjonarne					
Linia radiowa				Antena					
Lp.	Typ nadajnika	Częstotliwość pracy [GHz]	Moc wyjściowa [dBm]	Typ / producent	Średnica anteny [m]	Azymut [°]	Wysokość zainstal. [m]	LON	LAT
1	OPTIX RTN/HUAWEI	32	26	0.6-32 (VHLPX2-32)	0,6	202	50,5	22°42'12.43"E	49°57'53.12"N

Tabela nr 2b

Charakterystyka promieniowania				kierunkowa					
Rzeczywisty czas pracy [h/dobę]				Całodobowa 24h					
Warunki pracy				Znamionowe					
Rodzaj wytwarzanego pola				stacjonarne					
Lp.	Typ nadajnika	Antena Producent / Typ	Azymut [°]	Wysokość środk elektr. anten [m n.p.t.]	Pasmo [Mhz]	Kąt nachylenia [°]	EIRP dla anten [W]	LON	LAT
1	RBS6xxx/2xxx/4xxx	Huawei ADU4518R7	60	53	800	0 - 12	12835	22°42'12.43"E	49°57'53.13"N
	RBS6xxx/2xxx/4xxx				1800	2 - 12		22°42'12.43"E	49°57'53.13"N
	RBS6xxx/2xxx/4xxx				2100	2 - 12		22°42'12.43"E	49°57'53.13"N
2	RBS6xxx/2xxx/4xxx	Huawei ADU4518R7	60	53	800	0 - 12	12835	22°42'12.43"E	49°57'53.13"N
	RBS6xxx/2xxx/4xxx				1800	2 - 12		22°42'12.43"E	49°57'53.13"N
	RBS6xxx/2xxx/4xxx				2100	2 - 12		22°42'12.43"E	49°57'53.13"N
3	RBS6xxx/2xxx/4xxx	Huawei A704516R0	60	53	900	0 - 12	1995	22°42'12.43"E	49°57'53.13"N
4	RBS6xxx/2xxx/4xxx	Huawei ADU4518R7	170	53	800	0 - 12	12835	22°42'12.43"E	49°57'53.13"N
	RBS6xxx/2xxx/4xxx				1800	2 - 12		22°42'12.43"E	49°57'53.13"N
	RBS6xxx/2xxx/4xxx				2100	2 - 12		22°42'12.43"E	49°57'53.13"N
5	RBS6xxx/2xxx/4xxx	Huawei ADU4518R7	170	53	800	0 - 12	12835	22°42'12.43"E	49°57'53.13"N
	RBS6xxx/2xxx/4xxx				1800	2 - 12		22°42'12.43"E	49°57'53.13"N
	RBS6xxx/2xxx/4xxx				2100	2 - 12		22°42'12.43"E	49°57'53.13"N
6	RBS6xxx/2xxx/4xxx	Huawei A704516R0	170	53	900	0 - 12	1995	22°42'12.43"E	49°57'53.13"N
7	RBS6xxx/2xxx/4xxx	Huawei ADU4518R7	280	53	800	0 - 12	12835	22°42'12.43"E	49°57'53.13"N
	RBS6xxx/2xxx/4xxx				1800	2 - 12		22°42'12.43"E	49°57'53.13"N
	RBS6xxx/2xxx/4xxx				2100	2 - 12		22°42'12.43"E	49°57'53.13"N
8	RBS6xxx/2xxx/4xxx	Huawei ADU4518R7	280	53	800	0 - 12	12835	22°42'12.43"E	49°57'53.13"N
	RBS6xxx/2xxx/4xxx				1800	2 - 12		22°42'12.43"E	49°57'53.13"N
	RBS6xxx/2xxx/4xxx				2100	2 - 12		22°42'12.43"E	49°57'53.13"N
9	RBS6xxx/2xxx/4xxx	Huawei A704516R0	280	53	900	0 - 12	1995	22°42'12.43"E	49°57'53.13"N

W załączonej tabeli podano maksymalne parametry pracy tej instalacji deklarowane przez prowadzącego instalację. Podczas pomiarów urządzenia użytkownika pracowały przy aktualnie występującym obciążeniu. Anteny o sterowanych wiązkach zostały ustawione w sposób umożliwiający spełnienie wymagań pkt 13 ppkt 2 RMK.

Jako dopuszczalne poziomy gęstości pola elektromagnetycznego przyjmuje się wartość 2 W/m^2 , co odpowiada natężeniu składowej elektrycznej pola elektromagnetycznego o wartości 28 V/m – tj. minimalnej wartości dopuszczalnej dla zakresu częstotliwości od 10 MHz do 300 GHz, dzięki czemu zostaje uwzględniona obecność innych instalacji emitujących pole – EM w sąsiedztwie.

5. Wyniki badań i szkic sytuacyjny

Tabela nr 3

Data wykonania pomiarów	Godzina		Opady	Temperatura [°C]		Wilgotność [%]	
	Rozpoczęcia pomiarów	Zakończenia pomiarów		Minimalna	Maksymalna	Minimalna	Maksymalna
16.04.2024	9:40	11:00	Brak	11,4	13,1	67	69

Temperatura i wilgotność względna nie wyższa niż dopuszczalna specyfikacja miernika.

Tabela nr 4

Nr pionu / punktu	Lokalizacja pionu / punktu pomiarowego			Wysokość pomiaru	Wartość zmierzona	Wynik badania pola-E ^{*)}	Wskaźnik poziomu emisji WM _E	Wartość wyznaczona pola-H	Wskaźnik poziomu emisji WM _H
	LAT	LON	Opis						
1	2	3	4	5	6	7	8	9	10
1	49.96486	22.70375	GKP; poziom terenu wokół stacji bazowej	2,0	1,3	1,8	0,06	0,005	0,07
2	49.96492	22.70386	GKP; poziom terenu wokół stacji bazowej	2,0	1,1	1,5	0,05	0,004	0,06
3	49.96514	22.70444	GKP; poziom terenu wokół stacji bazowej	2,0	0,8	1,1	0,04	0,003	0,04
4	49.96534	22.70503	GKP; poziom terenu wokół stacji bazowej	2,0	0,7	1,0	0,03	0,003	0,04
5	49.96636	22.70778	GKP; poziom terenu wokół stacji bazowej - 357m od obiektu, na az.60°	2,0	0,6	0,8	0,03	0,002	0,03
6	49.96456	22.70350	GKP; poziom terenu wokół stacji bazowej	2,0	1,5	2,1	0,07	0,006	0,08
7	49.96447	22.70353	GKP; poziom terenu wokół stacji bazowej	2,0	1,4	1,9	0,07	0,005	0,07
8	49.96403	22.70364	GKP; poziom terenu wokół stacji bazowej	2,0	1,1	1,5	0,05	0,004	0,06
9	49.96361	22.70378	GKP; poziom terenu wokół stacji bazowej	2,0	0,8	1,1	0,04	0,003	0,04
10	49.96161	22.70433	GKP; poziom terenu wokół stacji bazowej - 357m od obiektu, na az.170°	2,0	0,6	0,8	0,03	0,002	0,03
11	49.96447	22.70328	GKP; poziom terenu wokół stacji bazowej	2,0	1,0	1,4	0,05	0,004	0,05
12	49.96420	22.70311	GKP; poziom terenu wokół stacji bazowej	2,0	0,8	1,1	0,04	0,003	0,04
13	49.96392	22.70295	GKP; poziom terenu wokół stacji bazowej	2,0	0,5	0,7	0,02	0,002	0,03
14	49.96481	22.70314	GKP; poziom terenu wokół stacji bazowej	2,0	1,4	1,9	0,07	0,005	0,07
15	49.96481	22.70300	GKP; poziom terenu wokół stacji bazowej	2,0	1,2	1,7	0,06	0,004	0,06
16	49.96489	22.70233	GKP; poziom terenu wokół stacji bazowej	2,0	1,1	1,5	0,05	0,004	0,06
17	49.96497	22.70167	GKP; poziom terenu wokół stacji bazowej	2,0	0,8	1,1	0,04	0,003	0,04
18	49.96531	22.69853	GKP; poziom terenu wokół stacji bazowej - 357m od obiektu, na az.280°	2,0	0,6	0,8	0,03	0,002	0,03
19	49.96491	22.70322	GKP; poziom terenu wokół stacji bazowej	2,0	1,4	1,9	0,07	0,005	0,07
20	49.96497	22.70314	GKP; poziom terenu wokół stacji bazowej	2,0	1,3	1,8	0,06	0,005	0,07

*) Za wynik badania przyjmuje się wartość wyznaczoną jako maksymalny chwilowy wynik pomiarów powiększony o rozszerzoną niepewność pomiaru U dla współczynnika rozszerzenia k=2.

Objaśnienia:

GKP – Główny Kierunek Pomiarowy

Tabela nr 4 cd.

Nr pionu / punktu	Lokalizacja pionu / punktu pomiarowego			Wysokość pomiaru	Wartość zmierzona	Wynik badania pola-E ^{*)}	Wskaźnik poziomu emisji WM _E	Wartość wyznaczona pola-H	Wskaźnik poziomu emisji WM _H
	LAT	LON	Opis						
1	2	3	4	5	6	7	8	9	10
21	49.96531	22.70267	GKP; poziom terenu wokół stacji bazowej	2,0	1,0	1,4	0,05	0,004	0,05
22	49.96565	22.70221	GKP; poziom terenu wokół stacji bazowej	2,0	0,7	1,0	0,03	0,003	0,04
A	49.96631	22.70124	DPP; św. okna kościoła przy ul. Morawsko 254 (parter)	2,0	0,6	0,8	0,03	0,002	0,03
*) Za wynik badania przyjmuje się wartość wyznaczoną jako maksymalny chwilowy wynik pomiarów powiększony o rozszerzoną niepewność pomiaru U dla współczynnika rozszerzenia k=2.									

Objaśnienia:

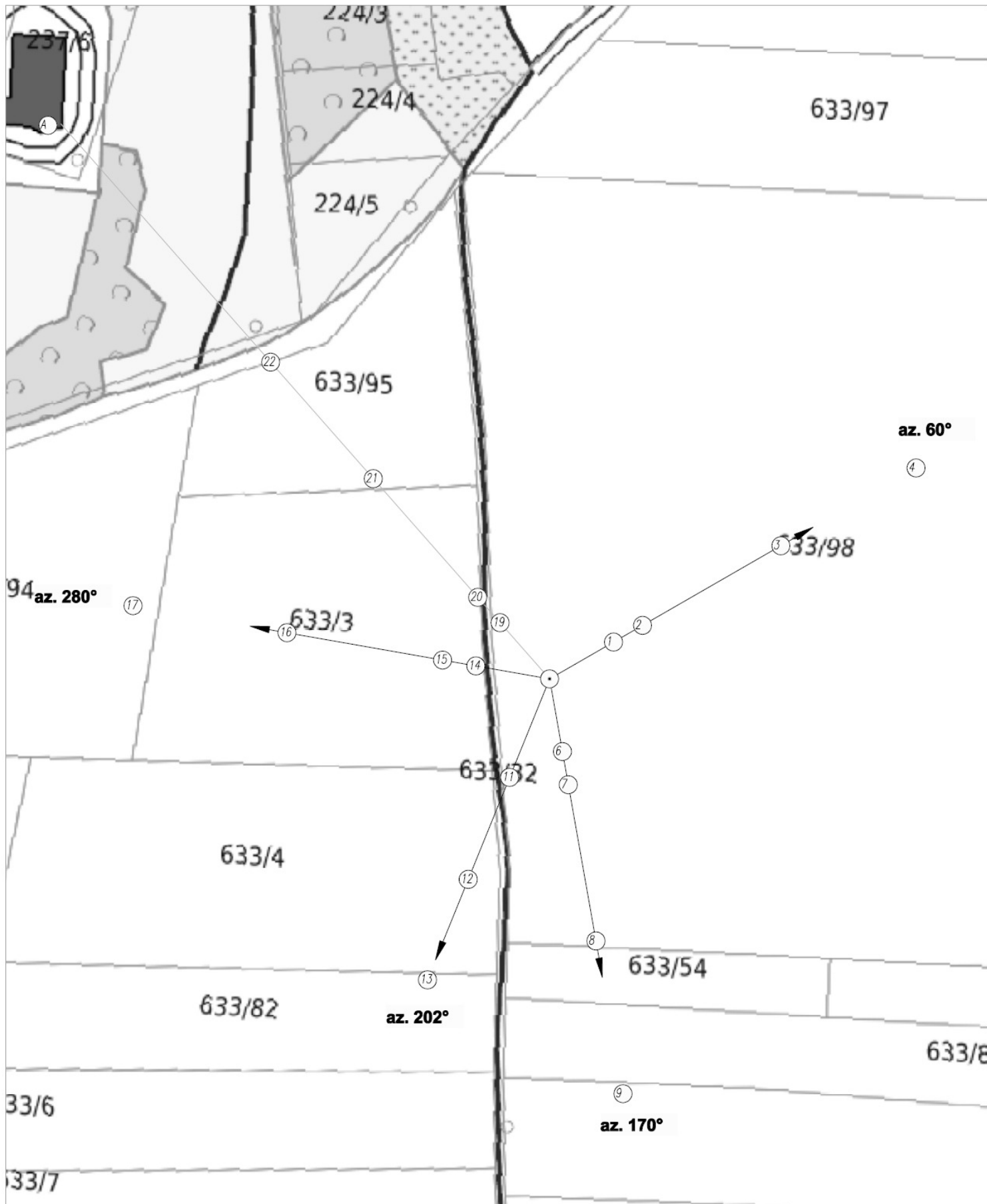
GKP – Główny Kierunek Pomiarowy

DPP – Dodatkowy Pion Pomiarowy

Wyniki pomiarów odnoszą się wyłącznie do przedstawionych w sprawozdaniu punktów / pionów pomiarowych.

Dane podane przez klienta wpływają na ważność wyników.

W obszarze pomiarowym nie stwierdzono obecności instalacji urządzeń obcych operatorów.



UWAGA: Nie wszystkie punkty / piony pomiarowe zostały wskazane na powyższej mapie

LEGENDA:

- (Nr) – Punkty (piony) pomiarowe
- – Lokalizacja źródła pola-EM

P4 Sp. z o.o. Użytkownik: 02-677 Warszawa, ul. Wynalazek 1		Nr stacji JRS7109_A	Skala 1:1500
Nazwa rysunku: Rozmieszczenie pionów pomiarowych Nr sprawozdania: 195/2024/OS/01			
LABORATORIUM BADAWCZE SOLDI ul. Bieżanowska 22, 30-812 Kraków		Opracował: Laboratorium Badawcze Soldi	Nr rysunku 01

6. Podsumowanie wyników badania

Minimalne dopuszczalne poziomy elektromagnetycznego promieniowania niejonizującego charakteryzowane przez wartości graniczne wielkości fizycznych dla miejsc dostępnych dla ludności, uwzględniające wszystkie źródła promieniowania mogące występować w obszarze pomiarowym, w zakresie pomiarowym zestawu pomiarowego, opisanego w punkcie 2 niniejszego sprawozdania, zgodnie z rozporządzeniem Ministra Zdrowia z dnia 17 grudnia 2019 r. w sprawie dopuszczalnych poziomów pól elektromagnetycznych w środowisku (Dz. U. 2019 poz. 2448), które zostały przyjęte do obliczeń wskaźników WM_E i WM_H wynoszą odpowiednio:

Tabela nr 5

Zakres częstotliwości	Natężenie pola - E	Natężenie pola - H
10 MHz – 300 GHz	28 V/m	0,073 A/m

Przeprowadzone badania zostały wykonane przy użyciu miernika szerokopasmowego i nie wykazały przekroczenia 70% ww. wartości dopuszczalnych. W wyniku przeprowadzonego badania potwierdzono także, że otrzymane wartości wskaźnikowe dla wszystkich punktów / pionów pomiarowych badanej instalacji radiokomunikacyjnej, nie przekroczyły wartości 1. Zatem poziomy pól elektromagnetycznych w badanych punktach są dopuszczalne.

Stwierdzenie zgodności zostało przedstawione na podstawie wyników badań oraz informacji uzyskanych od klienta (za które Laboratorium nie ponosi odpowiedzialności) dla instalacji opisanej w punkcie 4.

Stwierdzenia zgodności dokonano na podstawie zasady podejmowania decyzji i wymagań zawartych w załączniku do rozporządzenia Ministra Klimatu z dnia 17 lutego 2020 r. w sprawie sposobów sprawdzania dotrzymania dopuszczalnych poziomów pól elektromagnetycznych w środowisku (Dz. U. 2022 poz. 2630).

Tabela nr 6

Badanie wykonał:	Sprawozdanie sporządził:	Sprawdził:
Mateusz Skotniczny	Robert Kłosek	18.04.2024 r. Wiktoria Chłapek

KONIEC SPRAWOZDANIA